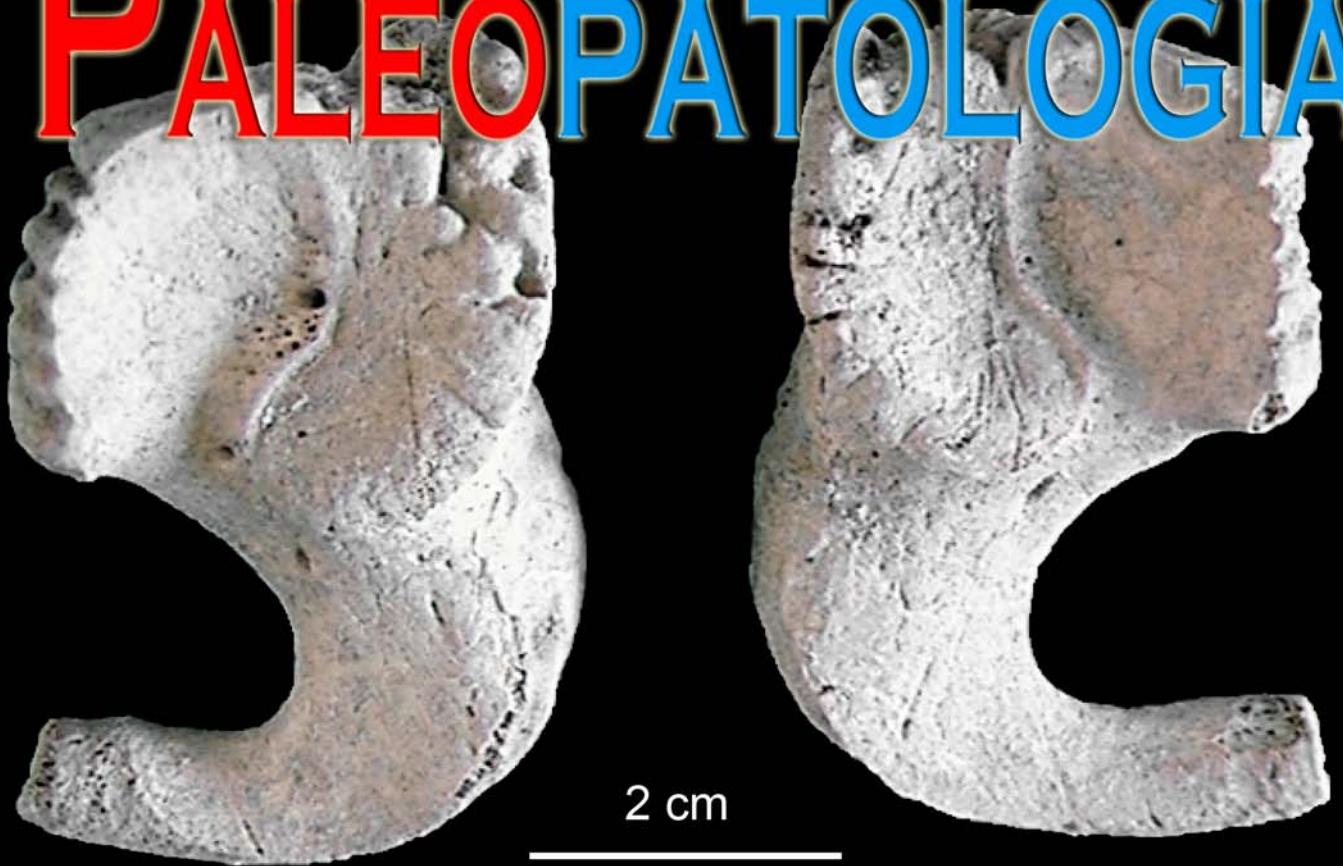


JUNIO 2007  
VOL. 4

# PALEOPATOLOGÍA



# Dos casos de embarazos a término con evidencias de distocia procedentes de contextos arqueológicos de época medieval y moderna

Inmaculada López Flores <sup>1</sup>  
M<sup>a</sup> de la Salud Magariño Sánchez <sup>2</sup>

<sup>1</sup> Camino Los Rojas, s/n. Cortijo Los Rojas  
Bda. Valdezorras, 41019 Sevilla

<sup>2</sup> Plaza de los Angeles 2, 1º B  
41710 Utrera Sevilla

Resumen: Se presentan dos casos arqueológicos de individuos femeninos, de época medieval islámica y moderna, en los que, a pesar de las condiciones postdeposicionales y tafonómicas desfavorables, pudieron recuperarse además restos de esqueletos en edad fetal. La posición que presentaban dichos restos dentro de las cavidades pélvicas, nos hacen pensar en casos de distocia.

Abstract: We present two cases about two archaeological females, from medieval and modern periods, who kepted a fetus in their pelvic cavity in spite of the postdeposicional and taphonomic bad conditions. The position of the two fetus makes us think in cases of dystocia.

Palabras clave: Enterramiento, embarazo, feto, período medieval y moderno, distocia.

Key words: Burial, pregnancy, fetus, medieval and modern periods, dystocia.

## INTRODUCCIÓN

Las dos inhumaciones que se presentan proceden de excavaciones distintas, así como de períodos (medieval islámico y moderno) y lugares

(Sevilla y Jerez de la Frontera, Cádiz) diferentes. En ambos casos fueron hallados de forma excepcional, restos de individuos en edad fetal.

El primero de los casos fue exhumado en una necrópolis probablemente almohade (siglos XII-XIII d.C.)<sup>1</sup>, cercana a la muralla islámica de la

ciudad de Sevilla como es habitual en este tipo de enterramientos, arrasada parcialmente por niveles contemporáneos de viviendas. En esta necrópolis se detectaron más de cien individuos, todos ellos sin ajuar y colocados en la posición exigida por la normativa islámica: decúbito lateral derecho y sagital orientado hacia el sudoeste. Bajo ella se documentó un sector de necrópolis tardorromana.

El segundo caso se registró en una cripta de la iglesia de un convento de Jerez de la Frontera (Cádiz). Se trata de una inhumación individual, primaria pero alterada, de época moderna (siglo XVII)<sup>2</sup>, excavada durante la Intervención Arqueológica "Ciudad del Flamenco" que se llevó a cabo entre 2005 y 2006. Los restos proceden de una de las criptas funerarias del antiguo convento de Mercedarios Descalzos de Nuestra Señora de Belén, fundado en 1648. Tras la exclaustación, los monjes mercedarios no volvieron a instalarse en Jerez y el edificio se utilizó como cárcel nacional a partir de 1837. En la década de los 60 del pasado siglo XX, el edificio del convento fue derribado y se construyó un colegio de primaria. Éste se demolió a su vez en la década de los ochenta y desde entonces, se usó como zona arbolada y de aparcamiento.

Los casos publicados en España hasta la actualidad no pasan de cinco, (en contra de lo que cabría pensar dada la intensa actividad arqueológica y antropológica de los últimos años). El más antiguo corresponde a una inhumación doble de época argárica (Edad del Bronce, 1500-1800 a.C.), localizada en un contexto de vivienda en el yacimiento "El Cerro de las Viñas de Coy" en Lorca (Murcia) (Malgosa et al., 2004). El individuo, femenino de entre 25 y 26 años, se encontraba en decúbito lateral izquierdo, con los brazos y piernas flexionados y enterrado en un medio colmatado, lo que aseguró parte de su buena conservación. Presentaba en el interior de la cavidad pélvica un feto de unas 37<sup>a</sup>-39<sup>a</sup> semanas en decúbito lateral derecho, que se mostraba colocado de forma transversa y oblicua, con el brazo derecho extendido bajo la sínfisis púbica. Todos estos indicios hacen pensar a los autores en un posible caso de distocia y prolapso.

El siguiente caso publicado pertenece a época tardorromana (siglo V d.C.), procedente de la necrópolis de Mas Rimbau (Tarragona). Se trata

de un individuo femenino de entre 30 y 40 años, de en torno a 160 cm de estatura y morfología mediterránea grácil con cierta influencia alpina. Se presentaba en decúbito supino con brazos semiflexionados sobre el abdomen, enterrada en fosa simple con cubierta de piedras toscas. En el interior de la cavidad pélvica se hallaron restos de un feto a término cuya posición coincide con una presentación de "pies completa", ya que parte de las extremidades inferiores asomaban extendidas por el estrecho inferior (Campillo et al. 1998).

En Ampurias se exhumó un enterramiento de inhumación doble en silo, en el que se hallaron dos individuos adultos femeninos. Uno de ellos, de entre 20 y 35 años y 151-153 cm de estatura, apareció en decúbito supino con parte de sus extremidades sobre el segundo adulto. En la cavidad pélvica se encontraba un feto a término cuyo cráneo aparecía encajado en la sínfisis púbica y las piernas semiflexionadas hacia el abdomen de la madre (Agustí y Codina, 1992).

Perteneciente al momento islámico es el caso de la necrópolis de L'Alfossar (Novelda, Alicante), de mediados del siglo XII a la primera mitad del XIII (López et al., 2005). Es una mujer joven (de en torno a 20 años y 156 cm de estatura), inhumada en fosa simple en decúbito lateral derecho basculado hacia delante (decúbito prono parcial), con piernas extendidas y mirando hacia el este. El estudio antropológico de la misma detectó: patología dental, espondilolisis de la quinta vértebra lumbar, calcificación del ligamento amarillo en el tramo dorsal y pilaterismo. Como rasgo epigenético se le documentó patella emarginata. Bajo el sacro se registraron restos fetales cuya posición exacta no pudo determinarse por el grado de conservación, pero se diagnosticó como un individuo de unas 31-32 semanas de gestación.

Otro de los casos publicados procede de la necrópolis de la Puerta de Elvira (Granada), siglos XIII-XIV, (De Miguel et al., en prensa). En una sepultura se localizó una mujer adulta (con hueso wormiano en sutura lambdoidea, ausencia de fusión de las epífisis acromiales como rasgos no métricos y patología dental y articular) y restos de un único feto a término, dispersos en el interior de la pelvis, junto a las manos y en torno a la cabeza, hecho que atribuyen los autores a efectos tafonómicos.

## MATERIAL Y MÉTODOS

El material fue documentado en campo a nivel arqueológico, antropológico y paleopatológico, con registro fotográfico, planimétrico y descriptivo. Posteriormente, dichos restos fueron trasladados para la fase de laboratorio y realizar las precisiones oportunas hasta completar su estudio.

### Descripción de los individuos

#### *Inhumación medieval islámica*

Corresponde a una inhumación primaria individual islámica, exhumada en la intervención Arqueológica de Urgencia realizada en las calles Gallos-Butrón, 23 y 25 de Sevilla en el año 2002 (Sigla: R.O.D. 02/11), donde se documentó parte de una necrópolis islámica sobre otra de época tardorromana (Figura 1).



Figura 1: Individuo U.E. 656. Vista general

El enterramiento se efectuó en una fosa simple (U.E. 655) de planta rectangular y sección de paredes verticales y fondo plano (dimensiones: 0,85 x 0,22 x 0,07 m). La mitad superior de la fosa se presentaba decapitada por la fosa de una canalización posterior contemporánea (U.E. 110).

Los restos conservados del individuo adulto (U.E. 656) se encontraban en decúbito lateral derecho (la orientación de sagital estaría hacia el sudoeste, 240°), con las piernas semiflexionadas, la extremidad inferior derecha mostrando cara interna y la izquierda cara externa (Figura 1). En el interior de la cavidad pélvica se hallaron restos de las manos mezclados con huesos correspondientes a un individuo de edad fetal. La ubicación del enterramiento, justo bajo la medianera del solar, con peligro de desprendimientos, implicó una excavación acelerada y poco minuciosa de los restos, dejando para el estudio de laboratorio, la clasificación detallada de las piezas extraídas.

En laboratorio el hueso se presentaba compacto y resistente, conservando tejido esponjoso. El color de la cortical externa era pardo medio con zonas más oscuras y se documentaron numerosas fracturas postmortem, recientes y antiguas.

El material de relleno (U.E. 657) detectado sobre el individuo presentaba una matriz limo-arenosa, de color pardo grisáceo, compactación media y textura limosa. Se observó la presencia abundante de nódulos de cal y carbón. Contenía fragmentos de tejas, algo de gravilla y cerámica rodada. Este material, pudo conferir al hueso esa consistencia y coloración.

Las fracturas registradas se debieron tanto a la intrusión de la canalización contemporánea, como a las inevitables derivadas de la misma extracción de los restos.

Los rasgos morfológicos estudiados en el coxal (Ubelaker, 1989) y la métrica poscraneal (Krogman e Isçan, 1986), determinan el diagnóstico sexual femenino (ver Anexo 1 para índice de conservación y métrica del esqueleto).

Por lo que respecta a la edad, se documentaron indicios de fusión reciente epifisaria y un grado de evolución de la carilla sinfisaria del pu-



bis encuadrado entre los 20 y los 25 años (Meindl y Lovejoy, 1989).

Se detectó patella bipartita bilateral (Figura 2) y aspectos funcionales como faceta de acucillamiento en ambas tibias en su extremo distal (Figura 3), hiperplatimería y platicnemia. La longitud perpendicular estimada del fémur derecho (397 mm.), nos aporta una estatura de  $151 \pm 5.96$  cm según las tablas de Mendonça (Mendonça, 2000).

En el interior de la cavidad pélvica de este individuo se detectaron, a pie de campo, restos de un individuo fetal (U.E. 694), del que apenas se conservaban algunos fragmentos de cráneo y de extremidades superiores, cortado por la misma fosa de la canalización que alteraba al individuo 656. La disposición que pudo registrarse (Figura 6), fue la aportada por la hemimandíbula derecha y un húmero izquierdo, que de estar in situ, implicarían la posición del individuo con la cabeza ya hacia el canal del parto.



Figura 2: Patella bipartita bilateral. (U.E. 656)



Figura 4: Espondilolisis. (U.E. 656)



Figura 3: Faceta de acucillamiento en ambas tibias. (U.E. 656)



Figura 5: Periostitis estriada en cara interna de ambas tibias. (U.E. 656)

Como aspectos paleopatológicos, podemos reseñar la presencia de una espondilolisis bilateral de L5 (Figura 4) y un proceso de periostitis estriada en la cara interna de ambas tibias y peronés (Figura 5).

La valoración antropométrica (Anexo 1) del esqueleto craneal y poscraneal recuperado, sitúan al individuo entre la 36ª y la 40ª semanas de gestación (Kõsa, 1989).



Figura 6: Individuo U.E. 694. Vista general

#### *Inhumación moderna cristiana*

El enterramiento U.E. 20.003 se realizó en fosa rectangular sobre el depósito de la cripta, aunque se encontraba bastante alterado por enterramientos posteriores. Sobre él se localizó otro individuo (U.E. 20.002) masculino en decúbito prono y alterado, que afectó a la extremidad superior derecha del individuo femenino (el húmero se presentaba desplazado y con roturas), al cráneo, también desplazado y presentando cara inferior, a la caja costal y parcialmente a la zona abdominal.

A lo anterior hay que añadir la presencia de una gran raíz que atravesaba el enterramiento, y cuyas ramificaciones, de diferente grosor, se introducían tanto por los espacios entre los huesos como en el canal medular, dando lugar por un lado a desplazamientos del material y por otro, a una importante afectación tafonómica que influyó en el estado general de conservación.

El individuo se encontraba en decúbito supino, con las extremidades superiores semiflexionadas y las manos entrelazadas sobre el lado derecho del abdomen y coxal derecho. Las extremidades inferiores se presentaban extendidas y los pies, que conservaban restos del material de cuero de los zapatos, juntos (Figura 7).



Figura 7: Individuo U.E. 20.003. Vista general

El estado del hueso se correspondía con el de una elevada fragilidad, debida fundamentalmente a la acción química de las raíces, la humedad y la acción antrópica posterior. Se conservaba tejido esponjoso y el color predominante era marrón oscuro, sobre todo en la zona central del cuerpo (raíces) y pies (restos de cuero).

El sexo del individuo, femenino, se pudo establecer mediante la morfología tanto craneal como del coxal y por la métrica de los huesos largos (Ubelaker, 1989). La edad se ha determinado en base a la evolución morfológica de la carilla costal (Loth e Iscan, 1989) y la fusión de las epifisis. Se trataría de un individuo adulto joven femenino de entre 20 y 24 años.

La estatura estimada según Mendonça (Mendonça, 2000) es de  $159 \pm 7.70$  cm tomando la longitud del húmero izquierdo, y de  $156 \pm 5.96$  cm tomando el fémur izquierdo.

El individuo presentaba pérdida dental antemortem de M1 y M2 superior derecho e izquierdo, M3 superior izquierdo y P1 superior derecho.

Durante el proceso de excavación del individuo adulto se pudo documentar la aparición de

huesos de pequeño tamaño en la cavidad pélvica, en parte bajo los dedos de las manos, que fueron identificados como pertenecientes a un individuo de edad fetal (U.E. 20.007), y mayoritariamente conservados aunque muy destruido el esqueleto craneal (una de las zonas donde mayor era la presencia de raicillas) (Figura 8).



Figura 8: Individuo U.E. 20.007. Vista general

La posición del cráneo y del resto del material óseo de este individuo indica que el feto habría cambiado de postura durante la última fase de gestación, lo que suele suceder alrededor de la 32ª semana (Berkow et alii, 2005), y estaría con la cabeza hacia el cérvix de la madre. Los resultados del estudio métrico (en Anexo 2), nos dan como resultado una edad de unas 36ª- 38ª semanas de gestación (Kösa, 1989), encontrándonos pues con un feto a término.

## DISCUSION

Aunque los escasos restos islámicos documentados no permiten afirmar que la causa de la muerte de los individuos se produjera durante el parto, se constata que el feto se encontraba en la postura del canal con evidencias de presentación cefálica, sin definir si de frente o bregma.

El segundo individuo se presentaba en posición cefálica. A pesar de la conservación parcial del cráneo, se hace posible la observación de la posición del hemimaxilar inferior y órbita izquierdos, así como las extremidades, lo que evidencia

la posición de presentación. El feto miraba hacia el lado izquierdo del abdomen materno. Se trata de un caso de distocia por deflexión del cuello. Cuando se inicia el trabajo del parto el mentón fetal se aproxima al tórax, lo que sucede en un 95% de los casos (Cabero, 2003), pero si no se produce esta flexión el mentón se aleja en mayor o menor grado dando lugar a este tipo de distocias que son problemáticas para el nacimiento.

Al igual que en el caso de la necrópolis islámica, no puede afirmarse con rotundidad que la distocia provocara la muerte puesto que, por un lado, estos casos a veces se resuelven de forma espontánea pasando el feto a la postura adecuada por la disposición de flexión del feto en el útero, que se acentúa en el momento del parto (Comino y López, 2004). Por otro lado, a la distocia hay que sumar otras causas potenciales de la muerte como enfermedad de la madre, infecciones durante el embarazo o el parto si éste había llegado a comenzar, o anomalías congénitas tanto maternas como fetales.

No obstante, nos encontramos ante dos casos en los que se ha logrado recuperar y documentar arqueológica y antropológicamente a dos individuos femeninos adultos en gestación, hecho que ya sólo de por sí, sorprende, dada la escasa literatura que se encuentra al respecto y que sin embargo, somos conscientes que no refleja la realidad; es más, evidencia la "relajación" con la que el material antropológico ha sido tratado hasta la actualidad.

## BIBLIOGRAFÍA

AGUSTÍ B., CODINA D. (1992) Noves aportacions al coneixement de les necropolis emporitanes. Les restes humanes. *Annals de l'Institut d'Estudis Empordanesos* (Figueres). 25: 383-397.

BERKOW R., BESS M.H., FLETCHER A. (2005) *The Manual Merck of Medical information*. 2ª ed., Pocket Book U.K.

CABERO ROURA, L. (dir.) (2003) *Tratado de Ginecología, Obstetricia y Medicina de la Reproducción*. Tomo I. Ed. Médica Panamericana.



COMINO DELGADO R., LOPEZ GARCIA G. (Coord.) (2004) *Obstetricia y ginecología*. Ed. Ariel. Barcelona.

CAMPILLO D., VILASECA A., CASAMITJANA E., AYESTARÁN E. (1998) Esqueleto de una mujer fallecida por distocia, perteneciente al período tardorromano (Mas Rimbau, Tarragona). *Empúries*. 51: 251-256.

DE MIGUEL, M. P., RODRÍGUEZ GARCÍA, I., NAVAS GUERRERO, E., AVILA MORALES, M. R., MANCILLA CABELLO, M. I. (en prensa) Embarazada en la necrópolis de la Puerta de Elvira (Granada). *Actas del VIII Congreso Nacional de Paleopatología*. Cáceres, 2005.

KÖSA F. (1989) Age estimation from the fetal skeleton. En Iscan M.Y., (edit.) *Age Markers in the Human Skeleton*. Springfield.

KROGMAN W.M., ISCAN M.Y. (1986) *The Human Skeleton in Forensic Medicine*. Charles C. Thomas. Springfield.

LOPEZ SEGUI, E., TORREGROSA GIMENEZ, P., QUILES MUÑOZ, J., DE MIGUEL IBÁÑEZ, M. P., NAVARRO PVEDA, C. (2005) La necrópolis islámica de L' Alfossar (Novelda, Alicante). *Recerques del Museu D'Alcoi*. 14: 143-156.

LOTH S.R., ISCAN M.Y. (1989) Morphological assesment of age en the adult: The thoracic region. En Iscan, M.Y., (edit.) *Age Markers in the Human Skeleton* págs. 105-135. Charles C. Thomas. Springfield.

MALGOSA A., ALESAN A., SAFONT S., BALLBÉ M., M. AYALA M. (2004) A dystocic childbirth in the Spanish Bronze Age. *International Journal of Osteoarchaeology*. 14: 98-103.

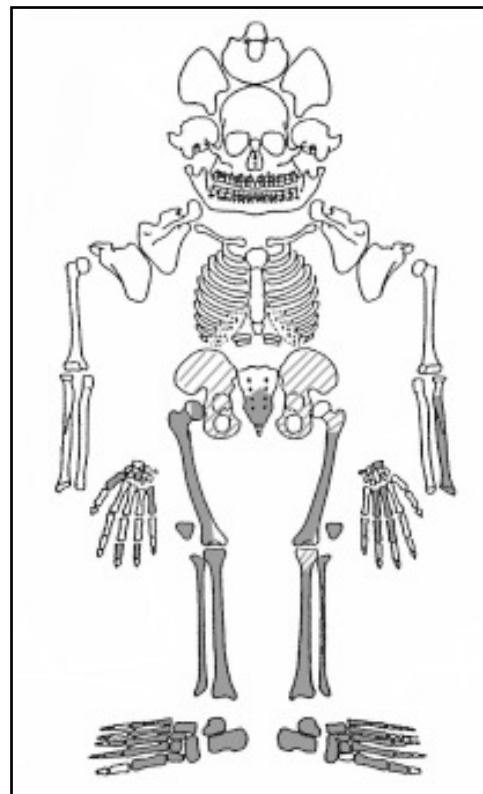
MEINDL S.R., LOVEJOY C.O. (1989) Age changes in the pelvis: Implications for paleodemography. En Iscan M.Y., (edit.) *Age Markers in the Human Skeleton* págs. 137-168. Charles C. Thomas. Springfield.

MENDONÇA M.C. (2000) Determinación de la talla a través de la longitud de los huesos largos. *American Journal of Physical Anthropology*. 112 (1): 39-48

UBELAKER D.H. (1989) *Human Skeletal Remains, Excavation, Analysis, Interpretation*. Taraxacum, Washington D.C.

## ANEXO 1

En este apartado se resume la información antropométrica y se consignan mediante un esquema gráfico los restos esqueléticos identificados y su estado de conservación para los cuatro individuos analizados.



Esquema correspondiente a ROD 02/11; U.E. 656

Las zonas sombreadas en gris son las presentes en el esqueleto, además de algunos fragmentos vertebrales (dos arcos), un fragmento de costilla y otros restos sin identificar. Las zonas rayadas expresan aquellas que se identifican pero aparecen fragmentadas o deterioradas.

Las dimensiones morfológicas obtenidas se indican en las Tabla 1 a 4 según el tipo de hueso conservado y el lado del esqueleto.

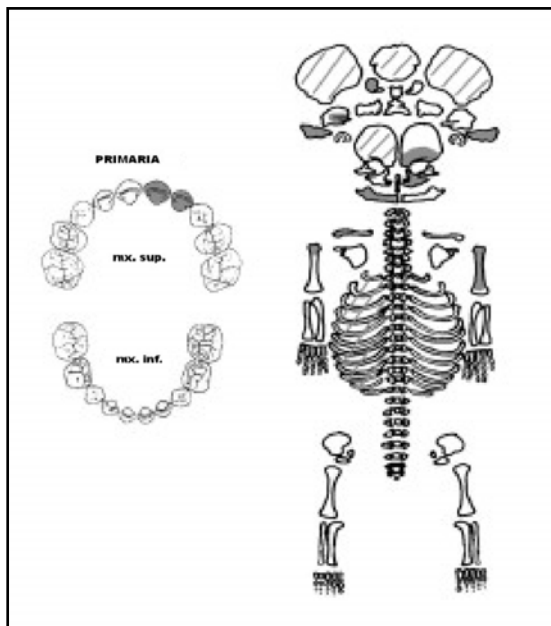


| U.E. 656 - Sevilla             | Derecho | Izquierdo |
|--------------------------------|---------|-----------|
| <b>Radio</b>                   |         |           |
| - Perímetro                    |         | 35        |
| - Diám. ep. distal AP.         |         | 17.8      |
| - Diám. ep. distal transverso  |         | 27.5      |
| <b>Fémur</b>                   |         |           |
| - Longitud perpendic. estimada | 397     | 395       |
| - Perímetro                    | 83      | 83        |
| - Diám. diáfisis AP.           | 23      | 23.9      |
| - Diám. diáfisis transverso    | 29      | 29.4      |
| - Diám. subtroc. AP.           | 23.3    | 22.4      |
| - Diám. subtroc. transverso    | 32.4    | 31.7      |
| - Diám. AP. bicondíleo         | 55.2    |           |
| - Diám. vertical cabeza        | 39.2    |           |
| - Índice robustez              | 20.90   | 21.01     |
| - Índice pilástrico            | 79.31   | 81.29     |
| - Índice platimeria            | 71.90   | 70.66     |
| <b>Rótula</b>                  |         |           |
| - Altura                       | 36.6    | 35.5      |
| - Anchura                      | 38.2    | 38.5      |
| - Espesor                      | 18.1    | 18        |
| - Índice rotuliano             | 95.81   | 92.20     |
| <b>Peroné</b>                  |         |           |
| - Longitud                     | 325     | 324       |

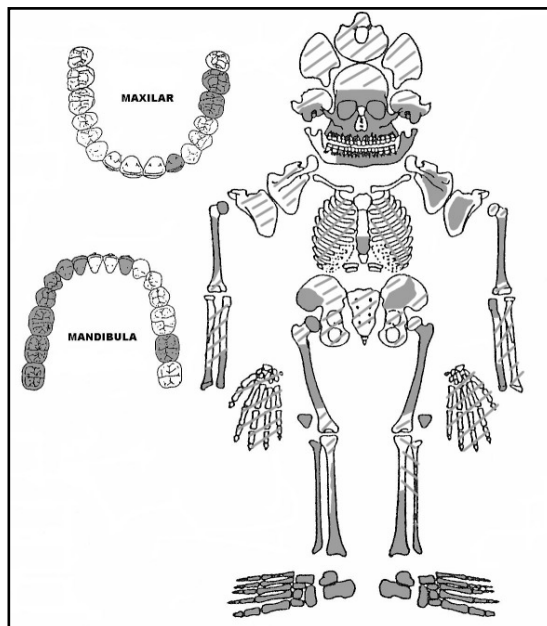
Tabla 1: Dimensiones (mm.) e índices (U.E. 656)

| U.E. 656 - Sevilla              | Derecho | Izquierdo |
|---------------------------------|---------|-----------|
| <b>Peroné</b>                   |         |           |
| - Perímetro                     | 51      | 50        |
| - Diám. diáfisis AP.            | 18.5    | 18.7      |
| - Diám. diáfisis transverso     | 10.5    | 11.3      |
| - Diám. ep. proximal AP.        | 20.2    | 20.4      |
| - Diám. ep. proximal transverso | 22.7    | 23.3      |
| - Diám. ep. distal AP.          | 21.4    | 21.1      |
| - Diám. ep. distal transverso   | 16.1    | 15.3      |
| - Índice robustez               | 15.69   | 15.43     |
| - Índice diafisario             | 56.75   | 60.42     |
| <b>Tibia</b>                    |         |           |
| - Longitud                      | 332     |           |
| - Perímetro                     | 79      | 79        |
| - Diám. diáfisis AP.            | 31.4    | 30.5      |
| - Diám. diáfisis transverso     | 19.11   | 19.6      |
| - Diám. ep. proximal AP.        | 45.6    |           |
| - Diám. ep. proximal transverso | 62.8    |           |
| - Diám. ep. distal AP.          | 29.2    | 27.7      |
| - Diám. ep. distal transverso   | 39.4    | 40.5      |
| - Diám. AP. agujero nutricio    | 33.3    |           |
| - Diám. Tranv. agujero nutricio | 19.9    |           |
| - Índice cnémico                | 59.75   |           |
| - Índice diafisario             | 60.82   | 64.26     |

Tabla 1: Dimensiones (mm.) e índices (U.E. 656)



Esquema correspondiente a ROD 02/11; U.E. 694



Esquema correspondiente a BEL /04; U.E. 20.003

| U.E. 694 - Sevilla          | Derecho | Izquierdo |
|-----------------------------|---------|-----------|
| <b>Peñasco del temporal</b> |         |           |
| - Diám. anteroposterior     | 38,6    | 35,5      |
| - Altura                    | 16,5    | 16,5      |
| <b>Parte lateral basal</b>  |         |           |
| - Diám. anteroposterior     | 14,4    |           |
| - Diám. transverso          | 24,6    |           |
| <b>Hemimandíbula</b>        |         |           |
| - Longitud                  | 47,4    |           |
| <b>Húmero</b>               |         |           |
| - Longitud estimada         |         | 62        |
| <b>Clavícula</b>            |         |           |
| - Longitud estimada         | 38,8    |           |

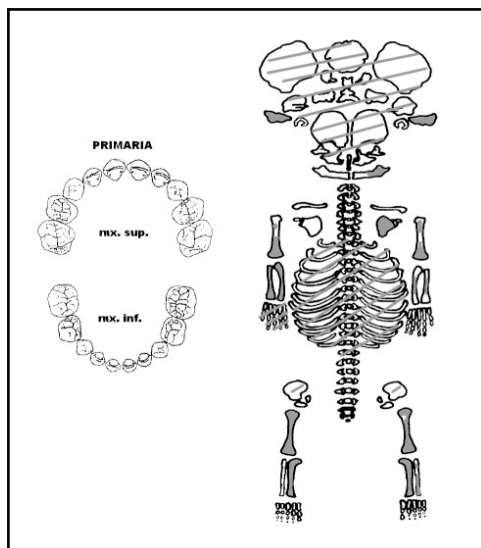
Tabla 2: Dimensiones (mm.) e índices (U.E. 694)

| U.E. 20.003 - Cádiz      | Derecho | Izquierdo |
|--------------------------|---------|-----------|
| <b>Esplacocráneo</b>     |         |           |
| - Anchura cara           | 14,4    |           |
| - Anchura orbitaria      | 36      |           |
| - Altura orbitaria       | 36,6    |           |
| - Anchura interorbitaria | 24      |           |
| - Altura nasal           | 22,4    |           |
| - Anchura paladar        | 32,6    |           |
| - Longitud paladar       | 46      |           |
| - Altura de la rama      | 67,2    |           |
| - Anchura de la rama     | 28      |           |
| <b>Humero</b>            |         |           |
| - Longitud               |         | 310       |
| - Diám. vertical cabeza  | 34,5    |           |
| - Diám. diáf. AP.        | 17,6    | 18,7      |
| - Diám. diáf. transverso | 20      | 20        |
| - Perímetro              | 61      | 62        |
| <b>Cúbito</b>            |         |           |
| - Diám. epíf. prox. AP.  |         | 28        |
| - Diám. epíf. transverso |         | 18,8      |
| - Diám. diáf. AP.        |         | 15,4      |

## ANEXO 2

|                                  |      |      |
|----------------------------------|------|------|
| - Diám. diáf. transverso         | 18   |      |
| <b>Radio</b>                     |      |      |
| - Diám. diáf. AP.                | 20   |      |
| - Diám. diáf. transverso         | 20,4 |      |
| <b>Fémur</b>                     |      |      |
| - Longitud                       |      | 410  |
| - Diám. Cabeza                   | 42,4 | 42   |
| - Diám. subtr. AP.               |      | 23   |
| - Diám. subtr. transverso        |      | 35   |
| - Perímetro                      | 85   | 87   |
| - Diám diáf. AP.                 | 25,6 | 25   |
| - Diám diáf. transverso          | 28   | 31   |
| <b>Tibia</b>                     |      |      |
| - Longitud                       | 340  |      |
| - Diám. epíf. distal. AP.        | 34,4 | 34,4 |
| - Diám. epíf. distal. transverso | 46,2 | 44,4 |
| <b>Peroné</b>                    |      |      |
| - Longitud                       | 340  |      |
| - Perímetro                      | 50   |      |
| - Diám. epíf. prox. AP.          | 24   |      |
| - Diám. epíf. prox. transverso   | 21   |      |
| - Diám. diáf. AP                 | 14   |      |
| - Diám. diáf. transverso         | 13,4 |      |
| - Diám. epíf. distal AP          | 22   | 23   |
| - Diám. epíf. distal transverso  | 19   | 17   |

Tabla 3: Dimensiones (mm.) e índices (U.E. 20.003)



Esquema correspondiente a BEL /04; U.E. 20.007

| U.E. 20.007 - Cádiz         | Derecho | Izquierdo |
|-----------------------------|---------|-----------|
| <b>Peñasco del temporal</b> |         |           |
| -Longitud                   | 26,2    |           |
| <b>Pars lateralis</b>       |         |           |
| -Longitud                   | 19,5    |           |
| <b>Hemimandíbula</b>        |         |           |
| - Altura rama               |         | 15,4      |
| <b>Cúbito</b>               |         |           |
| - Longitud                  | 48      |           |
| <b>Radio</b>                |         |           |
| - Longitud                  | 46,1    |           |
| <b>Fémur</b>                |         |           |
| - Longitud                  | 63,4    |           |
| <b>Tibia</b>                |         |           |
| - Longitud                  | 55,5    | 56        |
| <b>Escápula</b>             |         |           |
| - Longitud                  |         | 30        |
| - Anchura                   |         | 25,3      |

Tabla 4: Dimensiones (mm.) e índices (U.E. 20.007)

### Agradecimientos

(1) Agradecemos la aportación de la información arqueológica ofrecida por la empresa que coordinó los trabajos, Arqueología y Gestión, S.L.

(2) Agradecemos la información arqueológica ofrecida por el arqueólogo director de la intervención, D. Domingo Martín Mochales.